

ПОЛУЧЕНИЕ И ЭЛЕКТРОПРОВОДНОСТЬ ГЕТЕРОГЕННЫХ СОСТАВОВ $\text{Bi}_4\text{V}_{2-x}\text{Fe}_x\text{O}_{11-\delta}/n\% \text{FeO}_y (m\% \text{Al}_2\text{O}_3)$ ¹

© 2023 г. А. А. Крылов^{a,*}, Ю. В. Емельянова^a, Е. С. Буянова^a, С. А. Петрова^b

^aУральский федеральный университет им. первого Президента России Б.Н. Ельцина,
ул. Мира, 19, Екатеринбург, 620002 Россия

^bИнститут металлургии УрО РАН, ул. Амундсена, 101, Екатеринбург, 620016 Россия

*e-mail: a020294@mail.ru

Поступила в редакцию 28.07.2022 г.

После доработки 18.10.2022 г.

Принята к публикации 28.10.2022 г.

Исследованы структурные и электрофизические характеристики $\text{Bi}_4\text{V}_{2-x}\text{Fe}_x\text{O}_{11-\delta}$ (BIFEVOX, где $x = 0.3, 0.5$) и гетерогенных смесей на его основе $\text{Bi}_4\text{V}_{2-x}\text{Fe}_x\text{O}_{11-\delta}/n\% \text{FeO}_y$, $\text{Bi}_4\text{V}_{2-x}\text{Fe}_x\text{O}_{11-\delta}/m\% \text{Al}_2\text{O}_3$ при варьировании состава материала и термодинамических параметров среды. Рассчитаны кристаллохимические параметры индивидуальных соединений. Фазовый и элементный состав образцов оценен методами РФА и растровой электронной микроскопии с энергодисперсионным микроанализом, для индивидуальных фаз установлено отсутствие фазовых переходов. Методом импедансной спектроскопии исследована электропроводность материалов. Композитного эффекта в изученных системах не наблюдается.

Ключевые слова: оксид железа, оксид алюминия, гетерогенная смесь, кристаллическая структура, электропроводность

DOI: 10.31857/S0424857023040102, **EDN:** AOLJKW

ВВЕДЕНИЕ

В последние десятилетия во всем мире наблюдается тенденция к активному продвижению экологически безопасных технологий. Разрабатываются и внедряются различные возобновляемые источники энергии, функциональные характеристики которых позволяют уменьшить расходы и несут человеку и обществу экологическую чистоту. Одним из таких устройств выступает твердооксидный топливный элемент – ТОТЭ, который к тому же обладает существенным КПД. Однако высокие рабочие температуры накладывают жесткие требования на материалы ТОТЭ и препятствуют их быстрой коммерциализации, что вызывает постоянный интерес к разработке более низкотемпературных вариантов таких устройств. Для усовершенствования твердых электролитов можно применять варирование их состава и структуры (гомогенное допирование) и создание композитных материалов, которые называют также гетерогенно легированными материалами. Сочетание в композите полупроводниковых и ионных материалов является эффективным способом реализации достаточно высокой ионной проводи-

мости. Например, композит $\text{Ca}_{0.04}\text{Ce}_{0.80}\text{Sm}_{0.16}\text{O}_{2-\delta}-\text{La}_{0.6}\text{Sr}_{0.4}\text{Co}_{0.2}\text{Fe}_{0.8}\text{O}_{3-\delta}$ (SCDC–LSCF) демонстрирует отличную ионную проводимость 0.188 См см^{-1} (873 К) и максимальную выходную мощность 814 мВ см^{-2} (823 К) при применении в качестве мембран в ТОТЭ [1]. Сообщается, что высокая ионная проводимость таких систем, в основном, обеспечивается гетерофазными процессами. Колossalное улучшение ионной проводимости на восемь порядков было обнаружено на границах раздела $\text{YSZ}/\text{SrTiO}_3$ [2]. Ли с соавторами выявили, что ионная проводимость наноколонок $\text{YSZ}/\text{SrTiO}_3$ [3] выше более чем на 2 порядка по сравнению с обычными пленками YSZ. Высказано предположение, что эти полупроводниковые системы обладают множеством транспортных путей для движения ионов кислорода, протонов, а по мнению Ли [3], различие структуры и микроструктуры на границе двух фаз приводит к высокому беспорядку в подрешетке кислорода за счет большого числа межфазных кислородных вакансий. В качестве полупроводникового компонента композита предложены различные простые оксиды, например оксид цинка (ZnO), как типичный многофункциональный полупроводник с отличными фотокаталитическими, оптоэлектронными свойствами и нетоксичным характером [4]; природ-

¹ По материалам доклада на 16-м Международном Совещании “Фундаментальные проблемы ионики твердого тела”, Черноголовка, 27.06.–03.07.2022.

ный гематит (α - Fe_2O_3), который хорошо известен как типичный электронный проводник, одновременно обладающий хорошей ионной проводимостью [5], оксид никеля [6].

Твердые растворы на основе ванадата висмута $\text{Bi}_4\text{V}_2\text{O}_{11-\delta}$, где ванадий частично замещен на другой катион металла, образуют семейство BIMEVOX, в котором ряд составов с общей формулой $\text{Bi}_4\text{V}_{2-x}\text{Fe}_x\text{O}_{11-\delta}$ принято называть BIFEVOX. В материалах BIMEVOX достигнут достаточно высокий уровень общей электропроводности (1×10^{-2} См/см при 573 К и 2×10^{-3} – 3×10^{-1} См/см при 873 К [7]), однако они имеют ряд недостатков, затрудняющих их практическое применение, таких как недостаточная термодинамическая и/или механическая устойчивость, наличие электронной составляющей проводимости [8, 9]. Работ, посвященных электролитным композитным материалам с участием оксида висмута и его производных, не так много [10–13]. Пример композита, состоящего из двух электролитов BICUVOX/(Ce_{0.9}Gd_{0.1})O₂ (GDC), описан в работе [14]. Отмечено, что при его образовании происходит уменьшение размера зерен BIMEVOX, а также увеличение механической прочности керамики до величины, сопоставимой с той, что демонстрируют материалы, используемые в качестве электролитов в ТОТЭ. Повышение проводимости и улучшение качества спекания достигнуто в композите Bi₂O₃–La₁₀Si₆O₂₇ [15]. Ряд исследований посвящен системам, содержащим оксид висмута, Bi₂O₃–Ba(Ca,Sr)O–Fe₂O₃ [16]. Согласно полученным результатам, во всех случаях общая электропроводность синтезированных твердофазным методом композитов с увеличением содержания Fe₂O₃ возрастает и носит смешанный ионно-электронный характер. При этом одной из основных фаз, формирующих полученные материалы, является феррит висмута BiFeO₃, а по мере увеличения содержания оксида железа(III) растет концентрация сложного оксида Bi₂₅FeO₄₀. Кроме того, в материале присутствуют фазы переменного состава типа (Sr(Ba)O)_x(Bi₂O₃)_{1-x}. Строго говоря, точный состав полученной смеси во всех случаях не ясен, как и причина изменения величины электропроводности в этих системах.

В настоящей работе проведено исследование образцов $\text{Bi}_4\text{V}_{2-x}\text{Fe}_x\text{O}_{11-\delta}$ (где $x = 0.3, 0.5$) и гетерогенных составов на его основе $\text{Bi}_4\text{V}_{2-x}\text{Fe}_x\text{O}_{11-\delta}/n\%\text{FeO}_y$, $\text{Bi}_4\text{V}_{2-x}\text{Fe}_x\text{O}_{11-\delta}/m\%\text{Al}_2\text{O}_3$ при варьировании состава материала и термодинамических параметров среды.

ЭКСПЕРИМЕНТАЛЬНАЯ ЧАСТЬ

Образцы $\text{Bi}_4\text{V}_{2-x}\text{Fe}_x\text{O}_{11-\delta}$ (где $x = 0.3, 0.5$) синтезированы по стандартной керамической технологии [17]. Нанопорошки FeO_y, Al₂O₃ получали

методом лазерного испарения мишени и конденсации паров в токе рабочего газа в Институте электрофизики УрО РАН по методике [17]. Гетерогенные смеси получены механическим смешением соответствующих порошков при следующих соотношениях компонентов: $\text{Bi}_4\text{V}_{2-x}\text{Fe}_x\text{O}_{11-\delta}$ ($x = 0.3, 0.5$)/(2.5, 5.0, 10.0, 20.0, 30.0, 40.0 и 50.0 мас. %) FeO_y, $\text{Bi}_4\text{V}_{2-x}\text{Fe}_x\text{O}_{11-\delta}$ /(0.20, 0.39, 0.59, 0.79, 0.99, 1.18, 1.48, 2.00 мас. %) Al₂O₃. Порошки брикетировали на гидравлическом прессе (8 МПа) в виде таблеток диаметром 10 мм и отжигали при температуре 1073 К в течение 8 ч. Фазовый состав продуктов контролировали рентгенографически (дифрактометр ДРОН-3, CuK_α-излучение, монокроматор из пиролитического графита на отраженном пучке). Высокотемпературные исследования образцов проводили на дифрактометре D8 ADVANCE ЦКП “Урал-М” (CuK_α-излучение, позиционно-чувствительный детектор VANTEC-1, β-фильтр) в камере НТК1200N. Выдержка перед съемкой на заданной температуре – 60 с, скорость нагрева и охлаждения – 0.5 К/с. Результаты экспериментов обработаны с использованием программного пакета DIFFRAC^{plus}: EVA [18] и базы данных PDF4+ ICDD [19]. Расчет параметров элементарных ячеек проводили в программе Celref [20]. Полнoproфильный анализ дифрактограмм в двухфазной области методом Ритвельда проводили с использованием программного пакета DIFFRACplus: TOPAS [21]. Размеры частиц порошков определяли с помощью лазерного анализатора дисперсности SALD-7101 Shimadzu. Анализ микроструктуры и элементного состава брикетированных образцов выполняли с использованием растрового электронного микроскопа JEOL JSM 6390LA, оснащенного рентгеновским энергодисперсионным микроанализатором JED 2300. Электропроводность образцов исследовали методом импедансной спектроскопии (импедансметр Elins Z-3000 в диапазоне частот 3 МГц–1 Гц. Амплитуда внешнего переменного сигнала составляла 125 мВ в интервале температур 1073–473 К).

РЕЗУЛЬТАТЫ И ОБСУЖДЕНИЕ

Полученные по стандартной керамической технологии образцы $\text{Bi}_4\text{V}_{2-x}\text{Fe}_x\text{O}_{11-\delta}$ (где $x = 0.3, 0.5$) однофазны и имеют структуру высокотемпературной тетрагональной γ-модификации (пр. гр. I4/mmm). Рассчитанные параметры элементарной ячейки (ПЭЯ) для $\text{Bi}_4\text{V}_{2-x}\text{Fe}_x\text{O}_{11-\delta}$ (где $x = 0.3, 0.5$) соответствуют данным [22] и представлены в табл. 1. Средний размер частиц $\text{Bi}_4\text{V}_{2-x}\text{Fe}_x\text{O}_{11-\delta}$ находится в диапазоне 2–10 мкм. Нанопорошок оксида железа содержит три кристаллические фазы: магнетит (Fe₃O₄, кубическая ячейка, пр. гр.: Fd-3m:2, содержание 69%, $a = 8.356(7)$ Å); гематит (Fe₂O₃, ромбодирическая

Таблица 1. Кристаллографические характеристики $\text{Bi}_4\text{V}_{2-x}\text{Fe}_x\text{O}_{11-\delta}$

Формула	$a \pm 0.002 \text{ \AA}$	$b \pm 0.002 \text{ \AA}$	$c \pm 0.005 \text{ \AA}$	$V \pm 0.7 \text{ \AA}^3$
$\text{Bi}_4\text{V}_{1.7}\text{Fe}_{0.3}\text{O}_{11-\delta}$	3.920	3.920	15.469	237.7
$\text{Bi}_4\text{V}_{1.5}\text{Fe}_{0.5}\text{O}_{11-\delta}$	3.915	3.915	15.557	238.4

ячейка, пр. гр.: $R-3c$, содержание 10%, $a = 5.034(4) \text{ \AA}$, $c = 13.727(8) \text{ \AA}$; $\epsilon\text{-Fe}_2\text{O}_3$ (орторомбическая ячейка, пр. гр.: $Pna21$, содержание 21%, $a = 5.091(5) \text{ \AA}$, $b = 8.804(7) \text{ \AA}$, $c = 9.446(7) \text{ \AA}$). Оксид алюминия содержит $\approx 10\%$ $\gamma\text{-Al}_2\text{O}_3$, $\approx 88\%$ $\delta\text{-Al}_2\text{O}_3$ и около 2% кристаллического алюминия с параметрами элементарной ячейки $a = 7.878(1) \text{ \AA}$ (кубическая ячейка, пр. гр. $Fd3m$). Средний размер частиц напорошка находится в диапазоне 60–80 нм. Методом РФА выполнена проверка возможных взаимодействий при отжиге брикетов $\text{Bi}_4\text{V}_{2-x}\text{Fe}_x\text{O}_{11-\delta}/n\% \text{FeO}_y$, $\text{Bi}_4\text{V}_{2-x}\text{Fe}_x\text{O}_{11-\delta}/m\% \text{Al}_2\text{O}_3$. Из рентгенограмм следует, что взаимодействия между компонентами гетерогенной смеси не происходит, присутствуют рефлексы только двух индивидуальных фаз, оксид железа находится в виде гематита Fe_2O_3 .

Для анализа поведения гетерогенного состава при изменениях температуры проведены высокотемпературные рентгеновские исследования некоторых образцов (в контролируемой атмосфере с постоянным давлением кислорода, равным 0.21 атм). По результатам полнопрофильного анализа по методу Ритвелда рассчитаны ПЭЯ каждого из компонентов образца в зависимости от температуры и количественное соотношение существующих фаз. Температурная зависимость параметров элементарной ячейки существующих фаз для системы $\text{Bi}_4\text{V}_{1.7}\text{Fe}_{0.3}\text{O}_{11-\delta}/20\% \text{Fe}_2\text{O}_3$ приведена на рис. 1. Рассчитанное соотношение фаз $\text{Bi}_4\text{V}_{1.7}\text{Fe}_{0.3}\text{O}_{11-\delta}$ и Fe_2O_3 несущественно изменяется во всем диапазоне температур и составляет 88–85 мас. % для $\text{Bi}_4\text{V}_{1.7}\text{Fe}_{0.3}\text{O}_{11-\delta}$ и 12–15 мас. % для Fe_2O_3 при нагревании и 85–87 и 15–13 мас. %

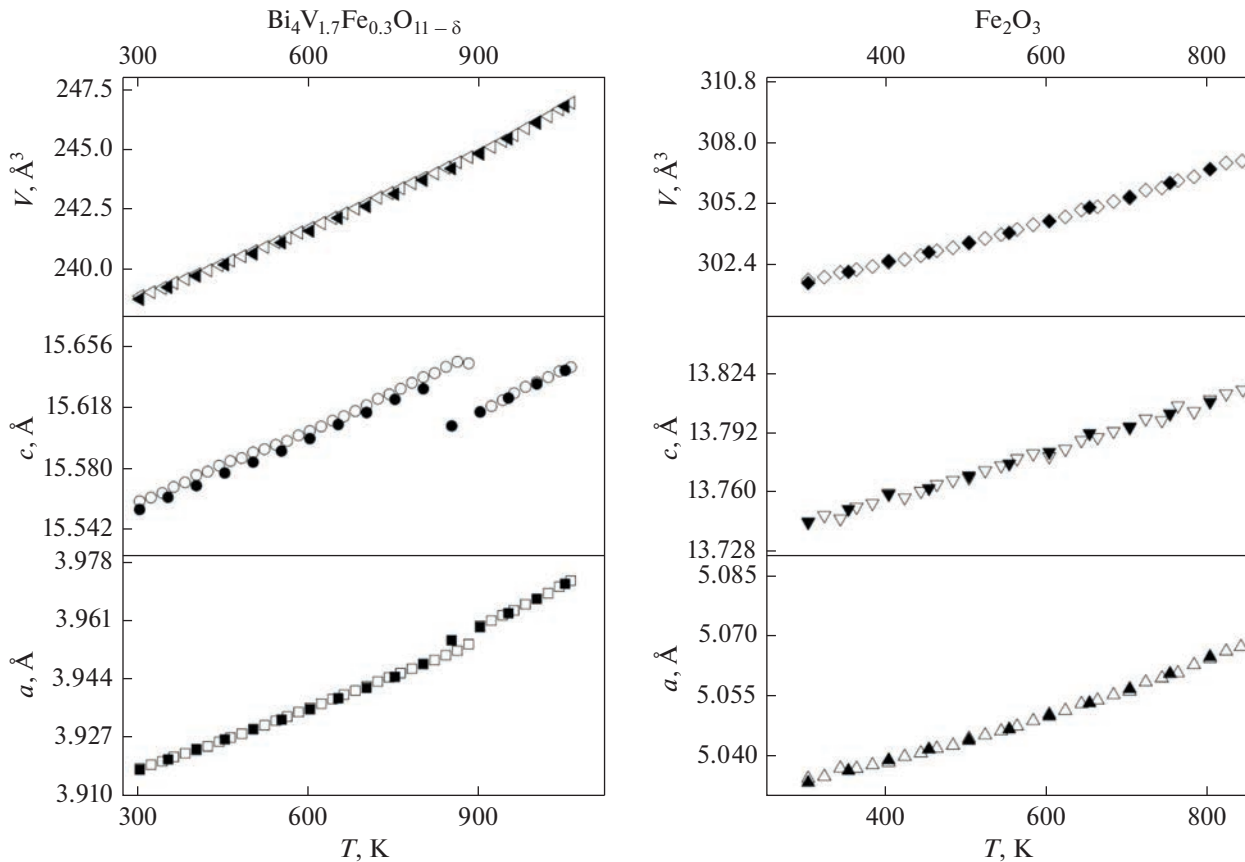


Рис. 1. Температурная зависимость ПЭЯ существующих фаз в образце $\text{Bi}_4\text{V}_{1.7}\text{Fe}_{0.3}\text{O}_{11-\delta}/20\% \text{Fe}_2\text{O}_3$ в температурном интервале 303–1073 К. Пустые символы – нагревание, заполненные – охлаждение.

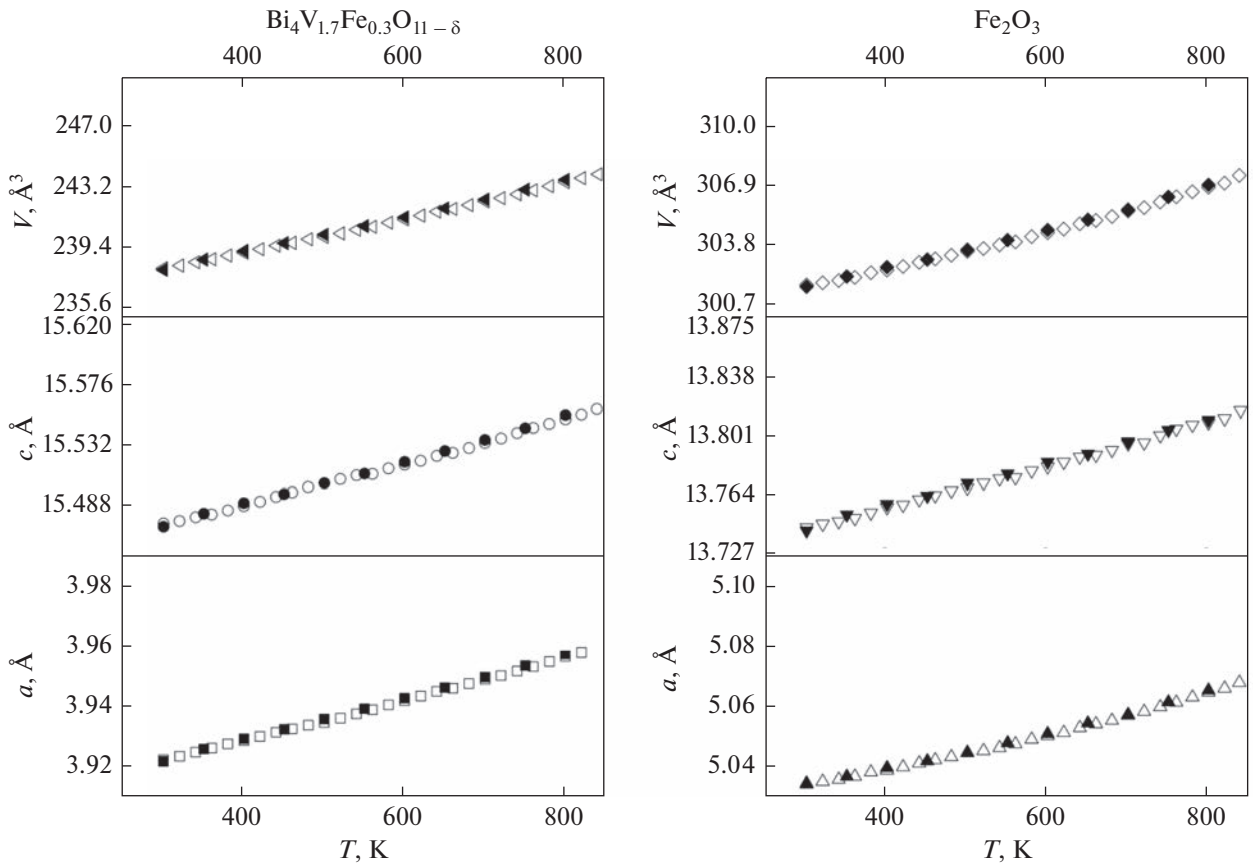


Рис. 2. Температурная зависимость ПЭЯ сосуществующих фаз в образце $\text{Bi}_4\text{V}_{1.7}\text{Fe}_{0.3}\text{O}_{11-\delta}/50\% \text{FeO}_y$ в температурном интервале 303–1073 К. Пустые символы – нагревание, заполненные – охлаждение.

для $\text{Bi}_4\text{V}_{1.7}\text{Fe}_{0.3}\text{O}_{11-\delta}$ и Fe_2O_3 при охлаждении соответственно.

Параметры элементарных ячеек составляющих компонентов гетерогенного состава на основе $\text{Bi}_4\text{V}_{1.7}\text{Fe}_{0.3}\text{O}_{11-\delta}$ в зависимости от температуры изменяются линейно, что подтверждает отсутствие взаимодействия между ними. Небольшой скачок параметров a и c при практически неизменном объеме элементарной ячейки $\text{Bi}_4\text{V}_{1.7}\text{Fe}_{0.3}\text{O}_{11-\delta}$ для системы $\text{Bi}_4\text{V}_{1.7}\text{Fe}_{0.3}\text{O}_{11-\delta}/20\% \text{FeO}_y$ в области 873 К свидетельствует о наличии обратимого перехода $\gamma' \leftrightarrow \gamma$ модификаций BIMEVOX. Для системы $\text{Bi}_4\text{V}_{1.7}\text{Fe}_{0.3}\text{O}_{11-\delta}/50\% \text{FeO}_y$ этот переход отсутствует (рис. 2), что может говорить о частичном встраивании дополнительного железа в BIMEVOX и смещении перехода $\gamma' \leftrightarrow \gamma$ в более высокотемпературную область. Для состава $\text{Bi}_4\text{V}_{1.5}\text{Fe}_{0.5}\text{O}_{11-\delta}/20\% \text{FeO}_y$ зависимости параметров элементарной ячейки от температуры имеют аналогичный в системе $\text{Bi}_4\text{V}_{1.7}\text{Fe}_{0.3}\text{O}_{11-\delta}/20\% \text{FeO}_y$ вид, что позволило нам не приводить их на отдельном рисунке. Наблюдается скачок параметров a и c при сохранении объема $\text{Bi}_4\text{V}_{1.5}\text{Fe}_{0.5}\text{O}_{11-\delta}$ в области 850–870 К, относящийся к переходу $\gamma' \leftrightarrow \gamma$ модификаций BIMEVOX.

Методом дилатометрического анализа (рис. 3) доказано отсутствие фазовых переходов типа $\alpha \leftrightarrow \beta \leftrightarrow \gamma$ BIMEVOX во всем исследованном диапазоне температур, что подтверждает результаты высокотемпературного РФА, где изменение объема BIFEVOX незначительно.

Несовпадение линий нагрева и охлаждения для образцов связано со спеканием брикетов в процессе длительной выдержки при температуре 1073 К. Для некоторых гетерогенных составов ($(\text{Bi}_4\text{V}_{1.7}\text{Fe}_{0.3}\text{O}_{11-\delta}/10\% \text{FeO}_x)$, $(\text{Bi}_4\text{V}_{1.7}\text{Fe}_{0.3}\text{O}_{11-\delta}/40\% \text{FeO}_x)$) рассчитаны величины КТР. Полученные значения находятся в диапазоне $(13-18) \times 10^{-6} \text{ K}^{-1}$, что в среднем немного ниже, чем КТР матричного $\text{Bi}_4\text{V}_{1.7}\text{Fe}_{0.3}\text{O}_{11-\delta}$ $(15-19) \times 10^{-6} \text{ K}^{-1}$, однако они соответствуют величинам КТР семейства BIMEVOX [23].

В качестве дополнительного метода оценки фазового и элементного состава образцов использовали метод растровой электронной микроскопии с возможностью энергодисперсионного микроанализа. Образцы пористые, состоят из зерен различных форм и размеров, контрастность определяется топографией поверхности образца,

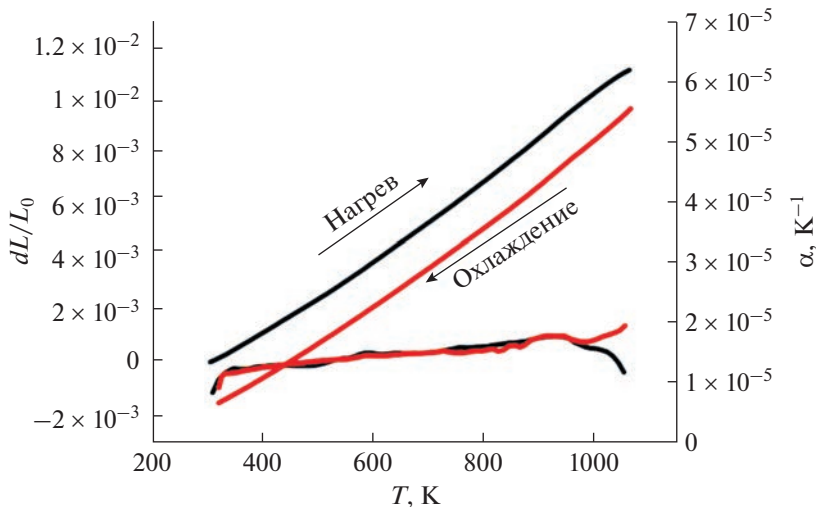


Рис. 3. Результаты дилатометрического анализа, показывающие изменение линейных размеров и изменение КТР образца $\text{Bi}_4\text{V}_{1.7}\text{Fe}_{0.3}\text{O}_{11} - \delta/40\% \text{FeO}_y$.

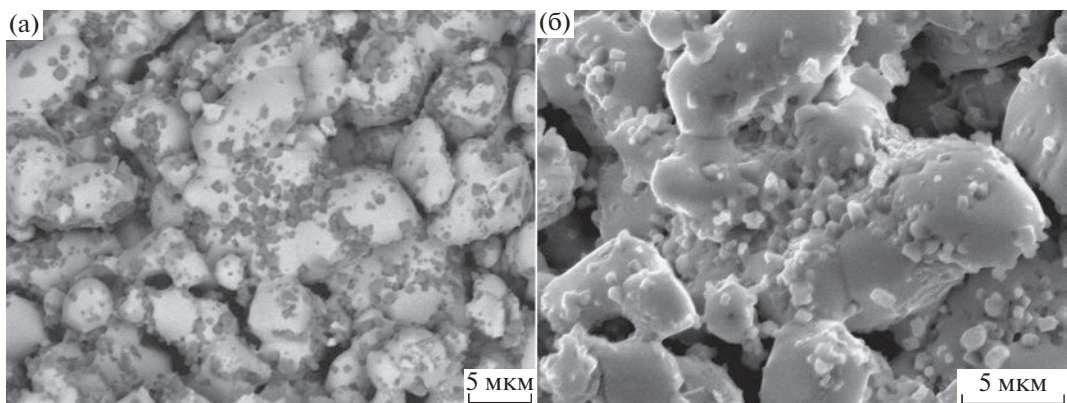


Рис. 4. Изображения скола образца $\text{Bi}_4\text{V}_{1.7}\text{Fe}_{0.3}\text{O}_{11} - \delta/10\% \text{FeO}_y$, полученные во вторичных (слева) и в отраженных (справа) электронах при различных увеличениях.

пример для состава $\text{Bi}_4\text{V}_{1.7}\text{Fe}_{0.3}\text{O}_{11} - \delta/10\% \text{FeO}_y$ приведен на рис. 4. В системе $\text{Bi}_4\text{V}_{2-x}\text{Fe}_x\text{O}_{11-\delta}/n\% \text{FeO}_y$ ($n = 10$ и 50%) хорошо различимы крупные зерна BIFEVOX и мелкие зерна оксида железа, достаточно равномерно их покрывающие. Для системы $\text{Bi}_4\text{V}_{2-x}\text{Fe}_x\text{O}_{11-\delta}/m\% \text{Al}_2\text{O}_3$ ($m = 0.2$ и 1.48%) наблюдается неравномерное распределение зерен оксида алюминия, неоднородность химического состава как на поверхности, так и в объеме образца с формированием более плотной и более рыхлой части (рис. 5). Размер частиц рыхлой части составляет 100–200 нм, что указывает на то, что это агрегаты наночастиц оксида алюминия. Содержание атомов алюминия в образце $\text{Bi}_4\text{V}_{1.7}\text{Fe}_{0.3}\text{O}_{11-\delta}/1.48\% \text{Al}_2\text{O}_3$ составляет 6.86 ат. % на поверхности и 0.40 ат. % на сколе образца при теоретическом значении 5.26 ат. %. Это свиде-

тельствует о том, что частицы оксида алюминия в большей степени агрегированы на поверхности образца. Расчет сделан по 12 точкам, взятым для энергодисперсионного микроанализа либо на поверхности брикета, либо на его сколе. Размер области анализа примерно $5 \times 5 \mu\text{m}$.

Общая электропроводность всех гетерогенных составов исследована методом импедансной спектроскопии в интервале температур 1073–473 К в режиме охлаждения. Импедансные диаграммы (рис. 6) для исследуемых ячеек и их изменение с температурой соответствуют наблюдаемым закономерностям для других BIMEVOX и могут быть описаны аналогичными эквивалентными схемами [23]. По результатам импедансных измерений построены температурные зависимости общей проводимости образцов, имеющие в основном

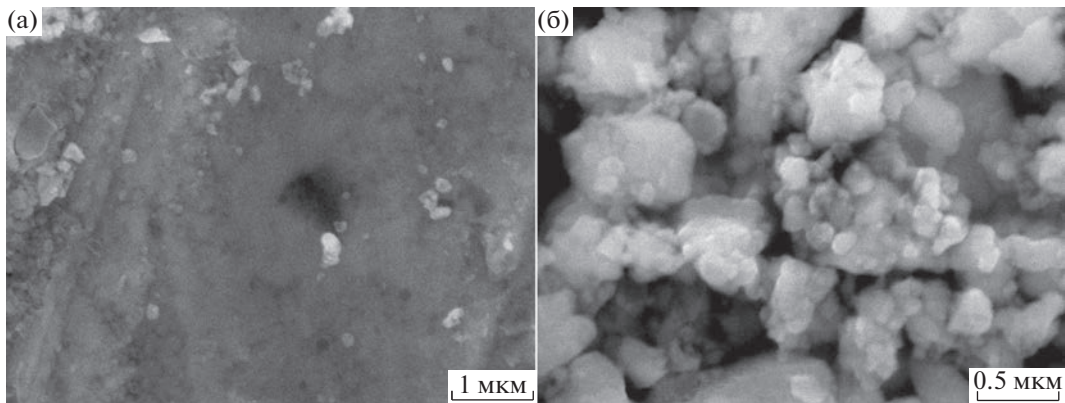


Рис. 5. Изображение поверхности образца BIFEVOX – оксид алюминия во вторичных электронах. Слева – плотная часть, справа – рыхлая часть образца.

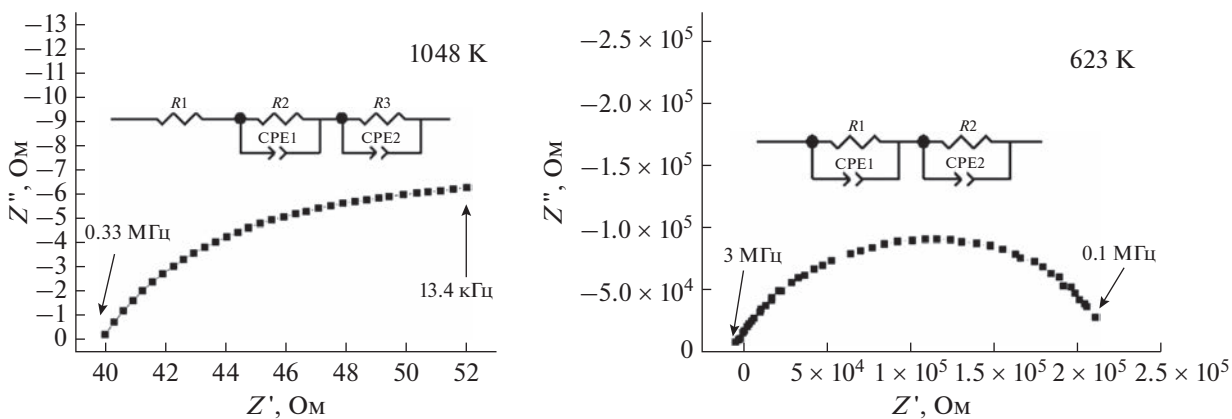


Рис. 6. Типичные импедансные диаграммы для $\text{Bi}_4\text{V}_{1.7}\text{Fe}_{0.3}\text{O}_{11-\delta}/20\% \text{FeO}_x$ при различных температурах.

тический для BIMEVOX общий вид [22] с небольшим перегибом, соответствующим переходу типа порядок–беспорядок кислородной подрешетки (переход γ – γ модификаций).

В серии $\text{Bi}_4\text{V}_{2-x}\text{Fe}_x\text{O}_{11-\delta}/n\% \text{FeO}_y$ при больших содержаниях оксида железа температурные зависимости проводимости слаживаются и приобретают линейный характер (рис. 7), что подтверждает результаты высокотемпературного РФА о смещении в сторону более высоких температур, или даже исчезновении фазового перехода γ – γ BIFEVOX в этих случаях, а следовательно, и о возможности частичного встраивания железа из оксида железа в BIFEVOX. Наблюдается небольшое увеличение электропроводности гетерогенных составов по сравнению с индивидуальным BIFEVOX при росте содержания оксида железа не более 10%, однако существенного изменения не происходит.

Из литературы [24] известно, что электропроводность Fe_2O_3 линейно возрастает с увеличением температуры от 423 К с энергией активации около 1.05 эВ. Общая проводимость гематита [25]

не очень велика и составляет 0.026 и 0.084 См/см при 673 и 873 К соответственно [26], для природного гематита, или около 3×10^{-4} См/см при 773 К [24] для стандартного реагента ($\alpha\text{-Fe}_2\text{O}_3$).

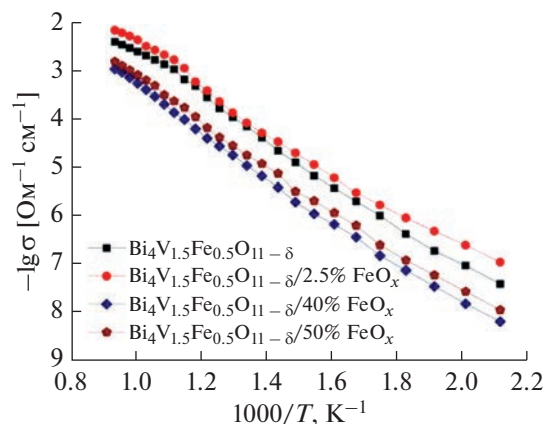


Рис. 7. Температурные зависимости электропроводности серии образцов состава $\text{Bi}_4\text{V}_{1.5}\text{Fe}_{0.5}\text{O}_{11-\delta}/n\% \text{FeO}_y$.

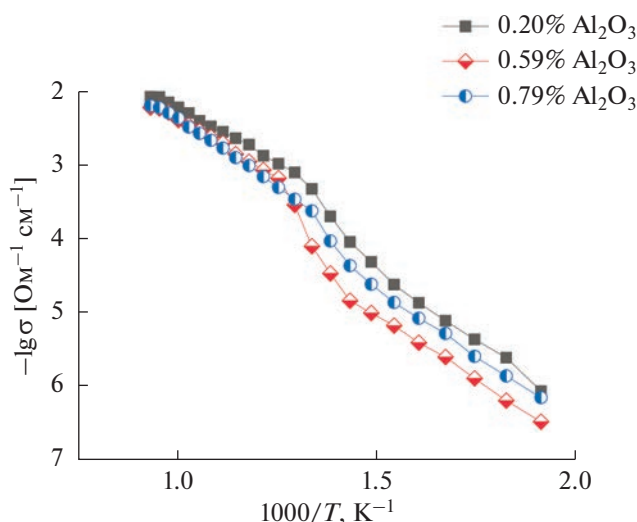


Рис. 8. Температурные зависимости электропроводности серии образцов состава $\text{Bi}_4\text{V}_{2-x}\text{Fe}_x\text{O}_{11-\delta}/m\%$ Al_2O_3 .

Эти величины сравнимы с проводимостью самого BIFEVOX. Как видно из рис. 7, энергия активации проводимости гетерогенных составов возрастает с увеличением содержания оксида железа, что согласуется с ее величиной для Fe_2O_3 .

Для $\text{Bi}_4\text{V}_{2-x}\text{Fe}_x\text{O}_{11-\delta}/m\%$ Al_2O_3 температурные зависимости не имеют линейного вида, который характерен для γ -модификации BIFEVOX. Переход на зависимостях наблюдается при температуре около 773 К, что соответствует полиморфному переходу $\gamma \leftrightarrow \beta$ модификаций (рис. 8).

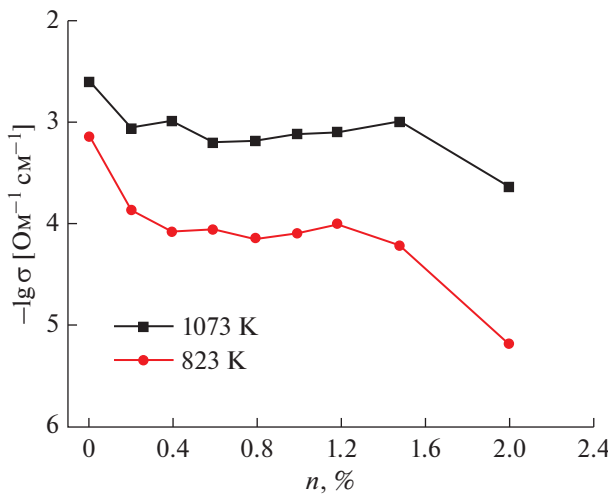


Рис. 9. Зависимость электропроводности образцов $\text{Bi}_4\text{V}_{1.7}\text{Fe}_{0.3}\text{O}_{11-\delta}/n\% \text{Al}_2\text{O}_3$ от содержания оксида алюминия при температурах 1073 и 823 К.

Следует предположить, что алюминий частично встраивается в подрешетку ванадия в BIFEVOX, что приводит к смене структуры твердого раствора из тетрагональной, характерной для γ -модификации, к орторомбической, характерной для β -модификации. Из литературы известно [27], что твердые растворы BIALVOX при $x < 0.2$ существуют в орторомбической модификации, которая имеет более низкую проводимость, чем тетрагональная, следовательно, существует возможность и двойного замещения ванадия железом и алюминием в данной области концентраций.

Как следует из зависимостей проводимости $\text{Bi}_4\text{V}_{2-x}\text{Fe}_x\text{O}_{11-\delta}/m\%$ Al_2O_3 от содержания оксида алюминия, с ростом доли Al_2O_3 в гетерогенном составе наблюдается уменьшение электропроводности, что может определяться его малой собственной проводимостью в данном интервале температур или изменением структуры и состава BIFEVOX (рис. 9).

Измерения электропроводности при заданном парциальном давлении кислорода проведены для образца $\text{Bi}_4\text{V}_{1.7}\text{Fe}_{0.3}\text{O}_{11-\delta}/20\% \text{FeO}_y$ при температурах 1003, 1023 и 1073 К с интервалом давлений от атмосферного до $\lg(p\text{O}_2) = -5$ атм методом импедансной спектроскопии. Зависимость электропроводности для состава $\text{Bi}_4\text{V}_{1.7}\text{Fe}_{0.3}\text{O}_{11-\delta}/20\% \text{FeO}_y$ от парциального давления кислорода показана на рис. 10.

Из результатов можно видеть, что тангенс угла наклона зависимостей невелик (около 1/13), что коррелирует с данными, полученными для матричного состава $\text{Bi}_4\text{V}_{1.7}\text{Fe}_{0.3}\text{O}_{11-\delta}$ [22], и в совокупности со знаком угла наклона может свидетель-

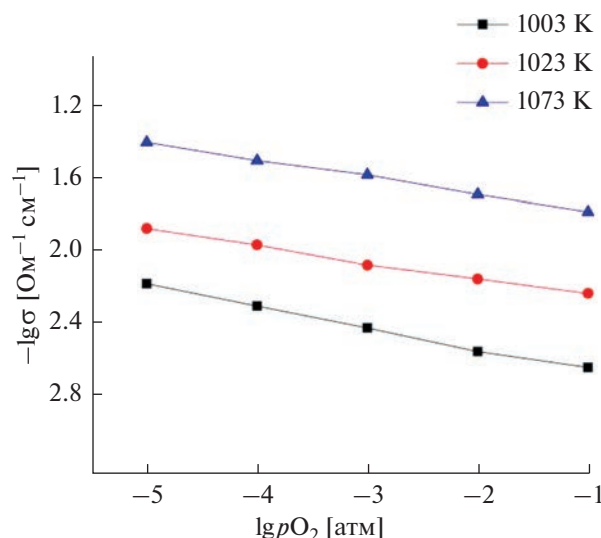


Рис. 10. Зависимость электропроводности гетерогенной смеси состава $\text{Bi}_4\text{V}_{1.7}\text{Fe}_{0.3}\text{O}_{11-\delta}/20\% \text{FeO}_y$ от парциального давления кислорода.

ствовать об увеличении числа носителей тока за счет ухода кислорода из структуры BIFEVOX при понижении его парциального давления в окружающей среде и образования дополнительных кислородных вакансий. С учетом известного факта о преобладающей кислородно-ионной проводимости оксидов семейства BIMEVOX, увеличение концентрации кислородных вакансий и слабая зависимость проводимости для гетерогенного состава от парциального давления кислорода в исследуемой области температур и давлений указывают на преимущественно ионный характер проводимости $\text{Bi}_4\text{V}_{1.7}\text{Fe}_{0.3}\text{O}_{11-\delta}/20\% \text{ FeO}_y$. Следовательно, введениеnanoоксида железа в гетерогенную смесь не привело к существенному увеличению электронной составляющей проводимости.

ЗАКЛЮЧЕНИЕ

Получены составы гетерогенных материалов на основе BIFEVOX и нанопорошков оксидов железа или алюминия. Доказана структурная и термическая устойчивость выбранных составов BIFEVOX и некоторых гетерогенных смесей, находящихся в высокопроводящей γ -модификации, при варьировании парциального давления кислорода. Методами РФА, в том числе в высокотемпературном варианте и электронной микроскопии с рентгеновским микроанализом проведен подробный анализ совместимости BIFEVOX с нанопорошком FeO_y , доказано отсутствие взаимодействия между ними. Установлено неравномерное распределение нанопорошка Al_2O_3 по объему образца. Исследована электропроводность полученных материалов в зависимости от термодинамических параметров окружающей среды (температура, парциальное давление кислорода) методом импедансной спектроскопии. Показано, что при выбранных условиях получения не удалось добиться улучшения функциональных характеристик заданных составов по сравнению с индивидуальными фазами. Полученные результаты могут служить основой для дальнейшего поиска оптимальных решений.

БЛАГОДАРНОСТЬ

Работа выполнена в рамках государственного задания Министерства образования и науки Российской Федерации (№ 4.2288.2017/ПЧ) и Министерства науки и высшего образования Российской Федерации в рамках Программы развития Уральского федерального университета имени первого Президента России Б.Н. Ельцина в соответствии с программой стратегического академического лидерства “Приоритет-2030”.

КОНФЛИКТ ИНТЕРЕСОВ

Авторы заявляют, что у них нет конфликта интересов.

СПИСОК ЛИТЕРАТУРЫ

- Wang, B., Wang, Y., Fan, L., et al., Preparation and characterization of Sm and Ca co-doped ceria– $\text{La}_{0.6}\text{Sr}_{0.4}\text{Co}_{0.2}\text{Fe}_{0.8}\text{O}_{3-\delta}$ semiconductor–ionic composites for electrolyte-layer-free fuel cells, *J. Mater. Chem. A*, 2016, vol. 4, p. 15426.
- Garcia-Barriocanal, J., Rivera-Calzada, A., Varela, M., et al., Colossal Ionic Conductivity at Interfaces of Epitaxial $\text{ZrO}_2:\text{Y}_2\text{O}_3/\text{SrTiO}_3$ Heterostructures, *Science*, 2008, vol. 321, p. 676.
- Lee, S., Zhang, W.R., Khatkhatay, F., et al., Ionic Conductivity Increased by Two Orders of Magnitude in Micrometer-Thick Vertical Yttria-Stabilized ZrO_2 Nanocomposite Films, *Nano letters*, 2015, vol. 15, p. 7362.
- Wu, Y., Dong, B., Zhang, J., et al., The synthesis of $\text{ZnO}/\text{SrTiO}_3$ composite for high efficiency photocatalytic hydrogen and electricity conversion, *Int. J. Hydrogen Energy*, 2018, vol. 43, p. 12627.
- Wu, Y., Xia, C., Zhang, W., et al., Natural Hematite for Next-Generation Solid Oxide Fuel Cells, *Adv. Funct. Mater.*, 2016, vol. 26, p. 938.
- Liu, L., Liu, Y., Li, L., et al., The composite electrolyte with an insulation Sm_2O_3 and semiconductor NiO for advanced fuel cells, *Int. J. Hydrogen Energy*, 2018, vol. 43, p. 12739.
- Singh, B., Ghosh, S., Aich, S., and Roy, B., Low temperature solid oxide electrolytes (LT-SOE): A review, *J. Power Sources*, 2017, vol. 339, p. 103.
- Piva, D.H., Venturini, J., Floriano, R., and Morelli, M.R., Inhibition of Order–Disorder Phase Transition and Improvements in the BICUVOX.1 Properties by Using Yttria-Stabilized Zirconia Particles, *Ceram. Int.*, 2014, vol. 41, p. 171.
- Жуковский, В.М., Буянова, Е.С., Емельянова, Ю.В. и др. Синтез, структура и проводимость оксидной керамики BIMEVOX. *Электрохимия*. 2009. Т. 45. С. 547.
- Paydar, M.H., Hadian, A.M., Shimano, K., and Yamazoe, N., Microstructure, mechanical properties and ionic conductivity of BICUVOX – ZrO_2 composite solid electrolytes, *J. Mater. Sci.*, 2002, vol. 37, p. 2273.
- Lyskov, N.V., Metlin, Yu.G., Belousova, V.V., and Tretyakov, Yu.D., Transport properties of $\text{Bi}_2\text{CuO}_4-\text{Bi}_2\text{O}_3$ ceramic composites, *Solid State Ionics*, 2004, vol. 166, p. 207.
- Yongqing, Z., Yanjie, Y., Xiao, L., et al., Novel Magnetically Separable $\text{BiVO}_4/\text{Fe}_3\text{O}_4$ Photocatalyst: Synthesis and Photocatalytic Performance under Visible-light Irradiation, *Mater. Res. Bull.*, 2017, vol. 89, p. 297.
- Fedorov, S.V. and Belousov, V.V., Wetting and conductivity of $\text{BiVO}_4-\text{V}_2\text{O}_5$ ceramic composites, *Russ. J. Electrochem.*, 2009, vol. 45, p. 573.
- Sabolsky, E.M., Razmyar, S., and Sabolsky, K., Nano- ceria enhancement of $\text{Bi}_2\text{Cu}_{0.1}\text{V}_{0.9}\text{O}_{5.35}$ (BICUVOX) ceramic electrolytes, *Mater. Lett.*, 2012, vol. 76, p. 47.

15. Absah, H.Q.H.H., Bakar, M.S.A., Zaini, J.H., et al., Bi₂O₃ and La₁₀Si₆O₂₇ composite electrolyte for enhanced performance in solid oxide fuel cells, *IOP Conf. Series: Materials Science and Engineering*, 2016, vol. 121, p. 012020.
16. Беспрозванных, Н.В., Ершов, Д.С., Синельщикова, О.Ю. Композиты на основе SrO–Bi₂O₃–Fe₂O₃: синтез и электрофизические свойства. *Журн. общей химии*. 2019. Т. 89. №. 12. С. 1955.
17. Буянова, Е.С., Емельянова, Ю.В., Морозова, М.В. и др. Синтез и характеристики композитных материалов на основе BIFEVOX. *Журн. неорган. химии*. 2018. Т. 63. № 10. С. 1280.
18. Fox, Austin, Bruker, Eva, and Bascis, Manual, figshare, *J. Contribution*, 2015.
<https://doi.org/10.6084/m9.figshare.1294663.v2>
19. Gates-Rector, S. and Blanton, T., The Powder Diffraction File: A Quality Materials Characterization Database, *Powder Diffr.*, 2019, vol. 34, p. 352.
<https://doi.org/10.1017/S0885715619000812>
20. CCP14 Homepage – Tutorials and Examples – LMGP suite for Windows by Jean Laugier and Bernard Bochu—Basic Demonstration of CELREF Unit-Cell refinement software on a multiphase system [Электронный ресурс] / Collaborative Computational Project № 14. London, 2003. Режим доступа: <http://www ccp14.ac.uk/tutorial/lmp/celref.htm>.
21. Coelho, A.A., TOPAS and TOPAS-Academic: an optimization program integrating computer algebra and crystallographic objects written in C++, *J. Appl. Cryst.*, 2018, vol. 51, p. 210.
<https://doi.org/10.1107/S1600576718000183>
22. Буянова, Е.С., Петрова, С.А., Емельянова, Ю.В. и др. Способы получения, структурные и электротранспортные характеристики ультрадисперсных порошков BIFEVOX. *Журн. неорган. химии*. 2009. Т. 54. №. 8. С.1257.
23. Morozova, M.V., Buyanova, E.S., Emelyanova, Ju.V., et al., Highconducting oxide ceramics BIMEVOX: Synthesis, structure, and properties, *Solid State Ionics*, 2011, vol. 192, p. 153.
24. Shimpei, I., Yuhki, Y., and Mizuguchi, J., Electrical Properties of Semiconductive α -Fe₂O₃ and Its Use as the Catalyst for Decomposition of Volatile Organic Compounds, *Mater. Trans.*, 2010, vol. 51, p. 1163.
25. Liao, P. and Carter, E.A., Hole transport in pure and doped hematite, *J. Appl. Phys.*, 2012, vol. 112, p. 1.
26. Wu, Y., Xia, C., Zhang, W., et al., Natural Hematite for Next-Generation Solid Oxide Fuel Cells, *Adv. Funct. Mater.*, 2016, vol. 26, p. 938.
27. Kant, R., Singh, K., and Pandey, O.P., Synthesis and characterization of bismuth vanadate electrolyte material with aluminium doping for SOFC application, *Int. J. Hydrogen Energy*, 2008, vol. 33, p. 455.